

УДК 531.8

ОБ ОДНОМ СПОСОБЕ РЕКУПЕРАЦИИ ЭНЕРГИИ ПРИ ДВИЖЕНИИ ШАГАЮЩЕГО АППАРАТА

ЛАПШИН В. В., ОХОЦИМСКИЙ Д. Е., ПЛАТОНОВ А. К.

Исследование динамики и энергетики движения шестиногих шагающих аппаратов, перемещающихся в рамках статической устойчивости с достаточно большой для шагающих аппаратов скоростью движения (до 10 км/ч), показало необходимость исследования возможности рекуперации энергии при движении шагающих аппаратов [1, 2]. В публикуемой работе рассмотрен один из способов рекуперации энергии колебательного движения ног относительно корпуса шестиногого аппарата, за счет использования упругих элементов.

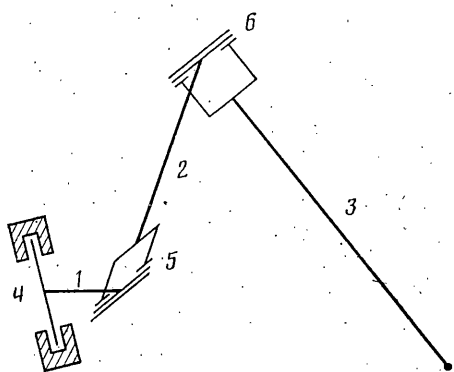
1. Рассмотрим аппарат, состоящий из корпуса и шести одинаковых весомых ног. Система координат $Oxyz$ жестко связана с корпусом аппарата. Аппарат движется осью Oy вперед, ось Oz является конструктивной вертикалью аппарата. Положение аппарата относительно осей абсолютной системы координат $O\xi\eta\zeta$ определяется координатами точки O корпуса и углами тангенса, крена и рысканья.

Кинематическая схема ноги приведена на фиг. 1. Нога состоит из платформы 1, бедра 2 и голени 3. Звенья ноги лежат в одной плоскости, называемой плоскостью ноги. Положение ноги относительно корпуса определяется углами: α — угол поворота плоскости ноги вокруг оси 4, параллельной конструктивной вертикали Oz (угол в шарнире платформы); β — угол поворота бедра вокруг горизонтальной оси 5 (угол в шарнире бедра), q — угол поворота голени вокруг горизонтальной оси 6 (угол в коленном шарнире).

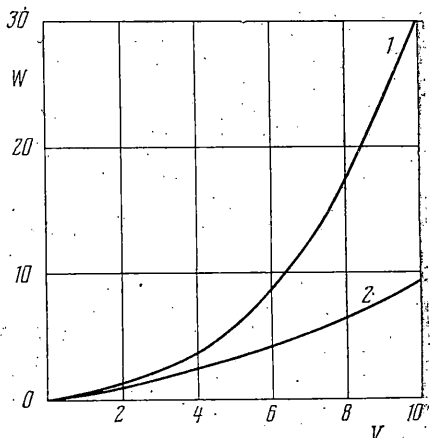
Перспективность использования шагающих машин связана с их более высокой профильной проходимостью по сравнению с традиционными видами транспорта (колесным и гусеничным) [3]. Однако существенным недостатком шагающих машин (как аппарата рассматриваемой кинематической схемы, так и других) является резкое увеличение энергозатрат с ростом скорости движения. Известно [2], что при изменении только скорости V движения шагающего аппарата, перемещающегося в рамках статической устойчивости, средняя выходная мощность его приводов изменяется в соответствии с законом $W = c_1 V + c_2 V^3$, где c_1, c_2 — постоянные для данного режима движения коэффициенты. Причем первая составная часть средней мощности аппарата W , пропорциональная скорости движения, связана с поддержанием веса аппарата, а вторая, пропорциональная кубу скорости, — с обеспечением колебательного движения ног относительно корпуса [2].

Одним из способов уменьшения энергозатрат шагающего движителя при увеличении скорости является увеличение продолжительности шагового цикла за счет увеличения длины шага и увеличения отношения продолжительности фазы переноса ноги к продолжительности опорной фазы [2].

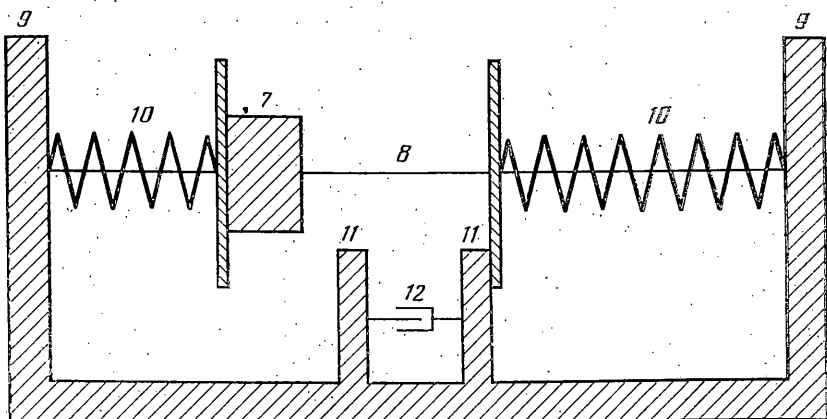
В рамках статической устойчивости для шестиногого аппарата при значительных скоростях движения энергетически наиболее выгодным является движение походкой «трешки» с конструктивно максимально возможной длиной шага. Ноги аппарата разделены на две группы — трешки, каждая из которых состоит из передней и задней ног одной стороны аппарата.



Фиг. 1



Фиг. 3



Фиг. 2

парата и средней ноги другой стороны. Ноги, принадлежащие одной трещке, поднимаются и ставятся на опорную поверхность одновременно. Время совместного стояния двух трещек равно нулю. Однако даже при использовании энергетически наиболее выгодного режима движения уже при скоростях 5–10 км/ч основной объем энергозатрат шагающего аппарата, перемещающегося в рамках статической устойчивости, связан с обеспечением колебательного движения ног относительно корпуса (поворот ноги вокруг оси вертикального шарнира платформы является основным транспортным движением ноги относительно корпуса):

2. Рассмотрим возможность рекуперации энергозатрат шагающего движителя за счет рекуперации энергии при разгоне и торможении ног относительно корпуса путем установки в шарнире платформы специального устройства — компенсатора шарнирных моментов, состоящего из двух упругих элементов, создающих компенсирующие моменты разного знака, и устройства, подключающего в зависимости от положения ноги (знака угла в шарнире платформы α) только один упругий элемент, развивающий усилие, стремящееся повернуть ногу в среднее положение $\alpha=0$, т. е. перпендикулярно продольной оси аппарата.

Похожий способ использования упругих элементов для рекуперации энергии и организации циклического движения манипуляционного робота с собственной частотой, определяемой упругими элементами, предложен в [4].

Принципиальная схема такого устройства приведена на фиг. 2, где вместо поворота платформы ноги для простоты изображения рассматривается линейное перемещение тела 7 вдоль оси 8.

Это устройство состоит из корпуса 9, закрепленного на корпусе аппарата, двух одинаковых упругих элементов 10 и упоров 11, ограничивающих область работы каждого из этих упругих элементов. Начальная деформация упругих элементов 10 значительно больше их деформации при движении ноги. Компенсирующий момент M_i^k , создаваемый упругими элементами компенсатора в шарнире платформы i -й ноги, является кусочно-постоянной функцией угла в этом шарнире $M_i^k = -M^\infty \operatorname{sign} \alpha_i$.

Покажем, что компенсаторы шарнирных моментов могут в основном обеспечивать движение ног относительно корпуса при движении шести ногового аппарата трещками с кусочно-постоянными значениями ускорений стоп переносимых ног в абсолютной системе координат.

Рассмотрим движение аппарата по горизонтальной плоскости $O_1\xi\eta$. Корпус аппарата движется равномерно и прямолинейно, параллельно опорной поверхности. Направление движения совпадает с осью $O_1\eta$.

Все ноги аппарата одинаковы. Обозначим: m — приведенная к стопе масса ноги, w_i — ускорение стопы переносимой ноги вдоль оси $O_1\eta$, S — длина шага на местности, B — боковой вынос ноги или расстояние от стопы до точки подвеса ноги к корпусу вдоль оси $O_1\eta$ (B одинаково для всех ног и не меняется при движении аппарата), M_i — момент в шарнире платформы i -й ноги, i_1, i_2, i_3 — номера переносимых ног, $i_1^\circ, i_2^\circ, i_3^\circ$ — номера опорных ног. Предположим, что приведенная к стопе масса ноги постоянна.

Все переносимые и все опорные ноги движутся одинаково, следовательно, $\alpha_{i_1} = \alpha_{i_2} = \alpha_{i_3} = \alpha$, $\alpha_{i_1^\circ} = \alpha_{i_2^\circ} = \alpha_{i_3^\circ} = \alpha_0$, $M_{i_1} = M_{i_2} = M_{i_3} = M$. Ускорения стоп переносимых ног являются кусочно-постоянными функциями α , т. е. $w = -|w| \operatorname{sign} \alpha$; величина $|w|$ определяется из условия переноса стопы на расстояние S за время переноса ноги $T = \sqrt{2S/V}$ и условий безударности отрыва и постановки ног на опорную поверхность $|w| = 16V/S$. Тогда моменты в шарнирах платформ переносимых ног равны $M = mwB = -(16mV^2B/S) \operatorname{sign} \alpha$.

Моменты в шарнирах опорных ног определяются через реакции опорной поверхности. Момент относительно оси шарнира платформы создают только проекции реакций в точке блоки ноги на оси $O_1\xi$ и $O_1\eta$. Сумма реакций в точках опоры ног в проекции на ось $O_1\xi$ равна нулю. Положим, что реакции в проекции на ось $O_1\xi$ равны нулю для каждой из опорных ног. Сумма реакций в точках опоры ног в проекции на ось $O_1\eta$ равна $R_\eta = m_a w_a$, где m_a — масса аппарата, w_a — ускорение центра масс аппарата. При движении походкой трещки в рамках сделанных предположений $w_a = 3tw/m_a$.

Положим, что реакции в проекции на ось $O_1\eta$ равны для всех трех опорных ног. Тогда моменты в шарнирах платформ опорных ног равны.

$$M_{i_1^\circ} = M_{i_2^\circ} = M_{i_3^\circ} = -(16mV^2B/S) \operatorname{sign} \alpha_i$$

В результате для i -й ноги как в опорной фазе движения, так и в фазе переноса имеем

$$M_i = -(16mV^2B/S) \operatorname{sign} \alpha_i$$

Положим, что величина момента, создаваемого компенсатором шарнирных моментов, равна

$$M^\infty = 16mV^2B/S \quad (1)$$

Тогда установка компенсаторов в шарнирах платформ ног полностью обеспечивает движение ног относительно корпуса. Работа, совершаемая упругими элементами компенсаторов в течение периода движения аппарата, равна нулю. Энергия, запасенная в компенсаторах, не рассеивается при движении аппарата и энергозатраты в шарнирах платформ равны нулю.

На самом деле в силу непостоянства приведенной к стопе массы ноги (величина m зависит от значений углов в шарнирах ноги) и наличия

трения в шарнирах, а также для обеспечения движения аппарата по неровной поверхности, кроме установки компенсаторов в шарнирах платформ ног необходимо дополнительно подводить энергию от привода.

В силу (1) при изменении скорости движения аппарата \dot{V} необходимо изменять величину компенсирующего момента M^* . Введем в конструкцию компенсатора шарнирных моментов привод 12, который может изменять расстояние между упорами 11 (см. фиг. 2). Тогда можно обеспечить эффективную работу компенсатора с неизменным значением величины компенсирующего момента M^* при различных скоростях движения шагающей машины.

Пусть V_* — максимальная допустимая скорость движения аппарата. При скорости движения V меньшей V_* необходимо увеличить расстояние между упорами 11. При этом зависимость компенсирующего момента от угла в шарнире платформы имеет вид $M_i^k = -M_* \operatorname{sign} \alpha_i$ при $|\alpha_i| \geq \alpha_*$, $M_i^k = 0$ при $|\alpha_i| < \alpha_*$, где $M_* = 16mV^2B/S$. Тогда, если $m = \text{const}$, то компенсатор шарнирных моментов обеспечивает перенос стопы на заданное расстояние S в течение фазы переноса и безударность отрыва и постановки ноги на опорную поверхность. Ускорение стопы переносимой ноги в проекции на ось $O_1\eta$ при этом имеет вид $w = w_*$ при $0 \leq t - t_0 \leq T_*$; $w = 0$ при $T_* < t - t_0 < T - T_*$; $w = -w_*$ при $T - T_* \leq t - t_0 \leq T$, где $w_* = 16V^2/S$.

Здесь t — текущее время, t_0 — начало фазы переноса ноги, T — время переноса ноги

$$T_* = \frac{1}{2}T(1 - \sqrt{1 - (V/V_*)^2}), \quad \alpha_* = \arctg^{-1}(S + 4VT_* - 2w_*T_*^2)/B$$

3. В силу непостоянства приведенной к стопе массы ноги и энергозатрат в бедренных и коленных шарнирах ног необходимо дополнительно рассмотреть вопрос об эффективности использования компенсаторов в шарнирах платформ с точки зрения сокращения энергозатрат аппарата.

Проведем это исследование методом математического моделирования, используя построенную ранее систему расчета на ЭВМ кинематических, динамических и энергетических характеристик движения шагающего аппарата [1, 2].

Естественно, что полученный эффект зависит от линейных размеров и масс-инерционных характеристик аппарата. Приведем результаты расчетов для пешиногого шагающего аппарата ША1 массой 5 т [2] (масса ноги 95 кг, расстояние между точками подвеса к корпусу передних и задних ног 3,4 м).

Рассмотрим энергетически наиболее выгодный режим движения ША1 при скорости 10 км/ч, полученный в [2].

На фиг. 3 показана зависимость средней выходной мощности приводов W (в кВт) ША1 от скорости V (в км/ч) без использования компенсаторов шарнирных моментов (кривая 1) и с использованием компенсаторов шарнирных моментов в шарнирах платформ (кривая 2).

Установка компенсаторов в шарнирах платформ позволяет простыми техническими средствами существенно уменьшить среднюю выходную мощность аппарата (для ША1 при $V=5$ км/ч с 5,9 до 3,3 кВт или в 1,8 раза, при $V=10$ км/ч с 30,3 до 9,4 кВт или в 3,2 раза). С ростом скорости движения выигрыш от использования компенсаторов шарнирных моментов возрастает.

Кубический закон увеличения средней выходной мощности приводов аппарата с ростом скорости движения при наличии компенсаторов в шарнирах платформ (кривая 2 на фиг. 3) связан с подъемом стоп переносимых ног над опорной поверхностью. Это движение стоп обеспечивается приводами в шарнирах бедер и колен.

Средняя выходная мощность аппарата при использовании компенсаторов в шарнирах платформ (кривая 2 на фиг. 3) определена в предположении, что КПД компенсаторов η равен единице. В силу потерь энергии в реальных конструкциях $\eta < 1$, а выигрыш от использования компенсаторов уменьшается по сравнению с рассчитанным пропорционально η .

ЛИТЕРАТУРА

1. Охочимский Д. Е., Платонов А. К., Кугушев Е. И., Ярошевский В. С. Расчет динамических параметров движения шагающего аппарата на ЭВМ.— В кн.: Исследование робототехнических систем. М.: Наука, 1982, с. 72–77.
2. Охочимский Д. Е., Платонов А. К., Лапшин В. В. Энергетика движения шестиногого шагающего аппарата.— В кн.: Информационные и управляющие системы роботов. М.: Изд-е ИП-та прикл. математики АН СССР, 1982, с. 8–19.
3. Охочимский Д. Е., Голубев Ю. Ф. Механика и управление движением автоматического шагающего аппарата. М.: Наука, 1984. 310 с.
4. Акинфиев С. С., Бабицкий В. И., Крупенин В. Л. Манипуляционные системы резонансного типа.— Машиноведение, 1982, № 1, с. 3–8.

Москва

Поступила в редакцию
25.IX.1985